

Penapisan Virtual untuk Identifikasi Senyawa Aktif dari Daun Kratom (*Mitragyna speciosa*) sebagai Analgesik

Virtual Screening to Identification The Active Compounds from Kratom (*Mitragyna speciosa*) as Analgetics

Ihsanul Arief*, Inderiyani

Akademi Farmasi Yarsi Pontianak

Jalan Panglima A'im, Pontianak Timur, Kalimantan Barat, Indonesia

*Email: ihsanularief@akfaryarsiptk.ac.id

Received: 22 September 2022; Accepted: 23 Desember 2023; Published: 30 Desember 2023

Abstrak

Kratom (*Mytragina speciosa*) merupakan salah satu tanaman endemik di asia tenggara pada umumnya dan kalimantan pada khususnya yang terbukti memiliki aktivitas sebagai analgesik, sedatif (antidepressan) dan, antiobesitas, antikanker payudara, antinociceptif, induksi CYP450, antiinflamasi, opiat, antimikroba, dan antioksidan. Akan tetapi, belum ada laporan yang menyatakan senyawa aktif adari daun kratom yang memiliki aktivitas-aktivitas tersebut. Oleh karena itu, penelitian ini akan mengidentifikasi senyawa aktif yang terkandung dalam daun kratom dengan proses penapisan virtual yang bertanggung jawab pada aktivitas analgetik beserta prediksi sifat adsorpsi, distribusi, metabolisme, ekskresi, dan toksisitas (ADMET). Proses penapisan virtual dilakukan berdasarkan penambatan molekul, sementara prediksi sifat ADMET dilakukan dengan bantuan web-server. Hasil yang diperoleh menunjukkan bahwa senyawa (-)-epicatechin paling bertanggung jawab terhadap aktivitas analgesik dari daun kratom. Profil ADMET dari senyawa ini memprediksi bahwa senyawa ini memiliki bioavailabilitas yang baik dan bersifat tidak toksik.

Kata Kunci: Kratom, *Mytragina speciosa*, analgesik, penapisan virtual, ADMET

Abstract

Kratom (Mytragina speciosa) is one of the endemic plants in Southeast Asia in general and Kalimantan in particular which is proven to have activities as an analgesic, sedative (antidepressant), and, antiobesity, breast anticancer, antinociceptive, CYP450 induction, anti-inflammatory, opiate, antimicrobial, and antioxidant. However, no report states the active compounds from kratom leaves that have these activities. Therefore, this study will identify the active compounds contained in kratom leaves with a virtual screening process responsible for analgesic activity along with the prediction of adsorption, distribution, metabolism, excretion, and toxicity (ADMET) properties. The virtual screening process was performed based on molecular tethering, while the prediction of ADMET properties was done with the help of a web server. The results obtained showed that the compound (-)-epicatechin was most responsible for the analgesic activity of kratom leaves. The ADMET profile of this compound predicts that it has good bioavailability and is non-toxic.

Keywords: Kratom, *Mytragina speciosa*, analgetics, virtual screening, ADMET

PENDAHULUAN

Kratom (*Mytragina speciosa*) merupakan salah satu tanaman yang diketahui memiliki khasiat bagi kesehatan. Senyawa metabolit sekunder yang terkandung dalam daun kratom adalah ajmalicine, corynantheidine, isomitraphylline, mitraphylline, paynantheine, isocorynantheidine, 7-

hydroxymitragynine, mitragynine, epicatechin, daucosterol, quinovic acid 3-O- β -D-quinovopyranoside, quinovic acid 3-O- β -D-glucopyranoside, 1-O-feruloyl- β -D-glucopyranoside, benzyl- β -D-glucopyranoside, 3-oxo- α -ionyl-O- β -D-glucopyranoside, roseoside, vogeloside, dan epivogeloside (León et al., 2009). Penelitian

sebelumnya telah mengungkap sejumlah potensi ekstrak daun kratom di antaranya sebagai analgesik, sedatif (antidepressan) dan, antiobesitas, antikanker payudara, antinosiseptif, induksi CYP450, antiinflamasi, opiat, antimikroba, antioksidan (Firmansyah et al., 2020). Akan tetapi, belum ditemukan hasil kajian mengenai senyawa spesifik yang paling bertanggung jawab terhadap khasiat daun kratom tersebut. Metode penambatan molekul yang mengkaji interaksi antara suatu senyawa dengan protein target umum digunakan untuk mengidentifikasi senyawa aktif yang berperan dalam penghambatan atau pengobatan suatu penyakit (Kontoyianni, 2017; Santoso, 2015; Kurniawan et al., 2022; Hadi et al., 2021).

Secara farmakologi molekuler, aktivitas analgesik suatu senyawa diduga berkaitan dengan kemampuan senyawa tersebut dalam menghambat kerja protein sikloksigenase-2 (COX-2) dan kinase p38 (p38). Struktur protein tersebut tersedia di basis data dengan kode 5IKQ (Orlando and Malkowski, 2016) dan 3FMK (Goldstein et al., 2011).

Selain kajian interaksi dengan protein target, sifat penting lain dari suatu ligan adalah sifat adsorpsi, distribusi, metabolisme, ekskresi, toksisitas (ADMET). Hal ini karena ligan tersebut diproyeksikan sebagai calon obat yang akan masuk ke tubuh manusia, sehingga harus memenuhi beberapa kriteria. Kriteria yang paling umum digunakan adalah Lipinski's rule of five (Lipinski et al., 2012).

Oleh karena itu, pada penelitian ini dikaji secara komputasi terkait senyawa di daun

kratom yang bertanggung jawab terhadap aktivitas analgetik daun kratom dan dilanjutkan dengan prediksi sifat ADMET dari senyawa terpilih.

METODE PENELITIAN

Penyiapan Struktur Protein Target dan Ligan

Dua protein target digunakan dalam penelitian ini, yaitu COX-2 (PDB ID: 5IKQ) dan p38 (PDB ID: 3FMK) yang strukturnya diunduh dari basis data RCSB (<https://www.rcsb.org>). Sementara struktur ligan yang merupakan senyawa aktif dari daun kratom sebagaimana dilaporkan oleh Leon et al. (2009) diunduh dari basis data Pubchem (<https://pubchem.ncbi.nlm.nih.gov/>). Masing-masing protein dipisahkan dari ligan bawaan dan entitas non-standar dengan fitur DockPrep di perangkat lunak Chimera 1.16 dan disimpan dalam format pdb (Pettersen et al., 2004). Ligan bawaan dan ligan kajian juga disiapkan dengan fitur DockPrep dan kemudian disimpan dalam format mol2.

Penapisan Virtual

Penapisan virtual dilakukan dengan Autodock Vina 1.1.2 (Trott and Olson, 2009) yang diimplementasikan dalam PyRx 0.8 (Dallakyan and Olson, 2015). Nilai *exhaustiveness* yang digunakan adalah sebesar 20, sementara pusat dan ukuran *grid box* untuk masing-masing protein dijelaskan pada **Tabel 1**. *Grid box* diatur sesuai dengan posisi ligan bawaan. Proses validasi dilakukan melalui nilai RMSD antara ligan bawaan di database dan hasil *redocking*. Protokol docking dinyatakan valid jika nilai RMSD bernilai kurang dari 2 Å (Marcou and Rognan, 2007). Hasil penapisan virtual dikaji dengan membandingkan interaksi antara ligan bawaan masing-masing protein, terutama interaksi ikatan hidrogen dengan asam amino utama (Xiang et al., 2012). Analisis interaksi secara dua dan tiga dimensi dilakukan dengan Discovery Studio Visualizer v21.1.0.20298 (BIOVIA, 2021).

Tabel 1. Pusat dan ukuran grid box dalam proses penapisan virtual

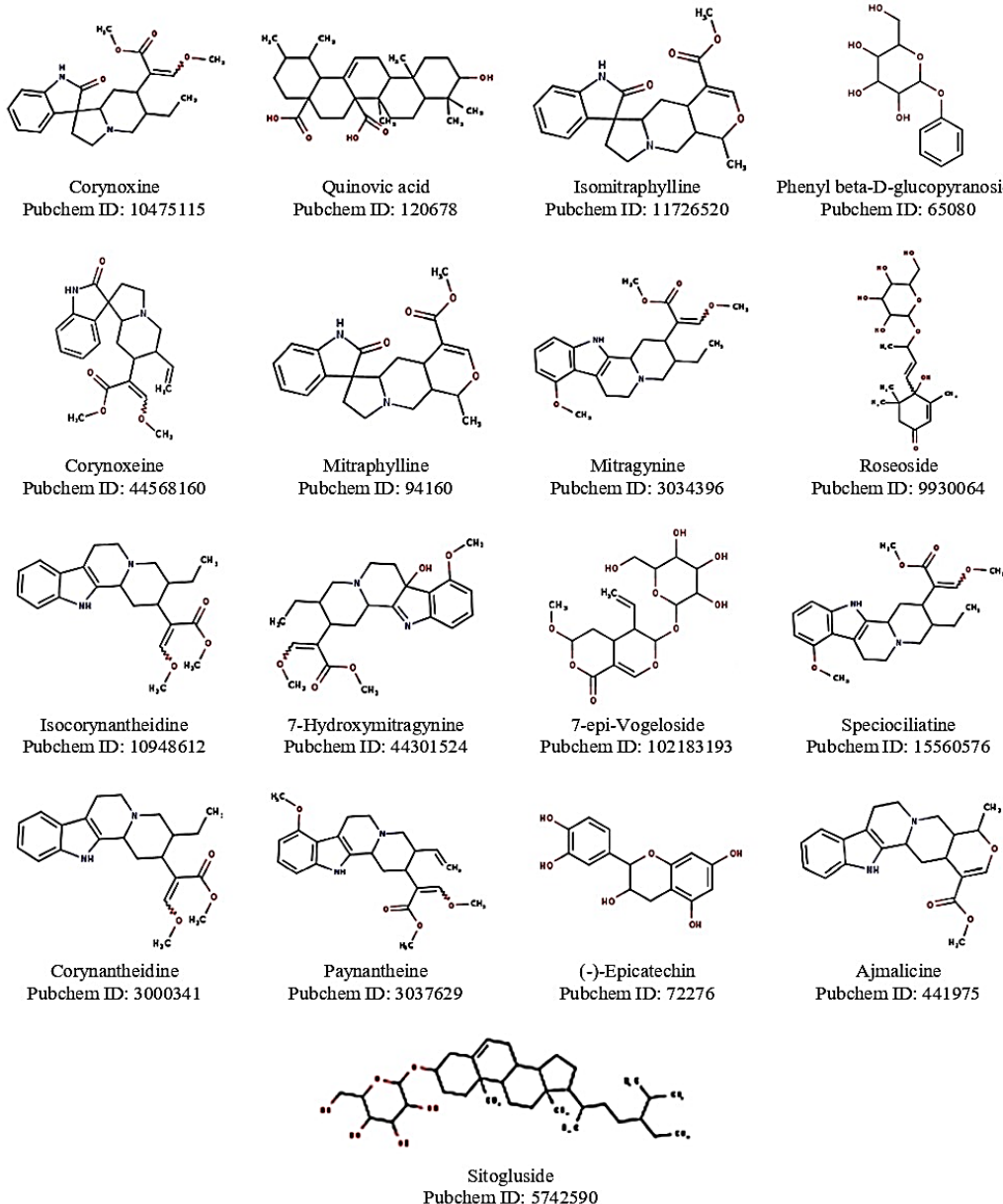
Protein	Pusat grid box	Ukuran grid box
COX-2 (PDB ID: 5IKQ)	x = 22,6291 y = 51,5244 z = 17,8529	x = 20,0261 y = 20,0683 z = 20,0636
p38 (PDB ID: 3FMK)	x = 20,8360 y = 10,8290 z = 31,1137	x = 20,0261 y = 20,0683 z = 20,0636

Kajian ADMET

Senyawa yang memiliki afinitas ikatan paling kuat dan menunjukkan interaksi paling sesuai dengan ligan bawaan, kemudian dikaji profil ADME serta toksisitasnya secara komputasi. Prediksi profil ADME dilakukan di situs SwissADME (Daina *et al.*, 2017), dan profil toksisitas diprediksi di situs ProTox-II (Banerjee *et al.*, 2018).

HASIL DAN PEMBAHASAN

Struktur dan Pubchem ID dari 17 senyawa yang dikaji dalam penelitian ini ditunjukkan pada Gambar 1. Adapun ligan bawaan untuk protein COX-2 adalah asam meklofenamat (Orlando and Malkowski, 2016), sementara untuk protein p38 adalah pamapimod (Goldstein *et al.*, 2011). Nilai RMSD untuk masing-masing ligan bawaan



Gambar 1. Struktur dan Pubchem ID senyawa dari daun kratom yang dikaji pada penelitian ini sesuai yang dilaporkan oleh Leon *et al.* (2009)



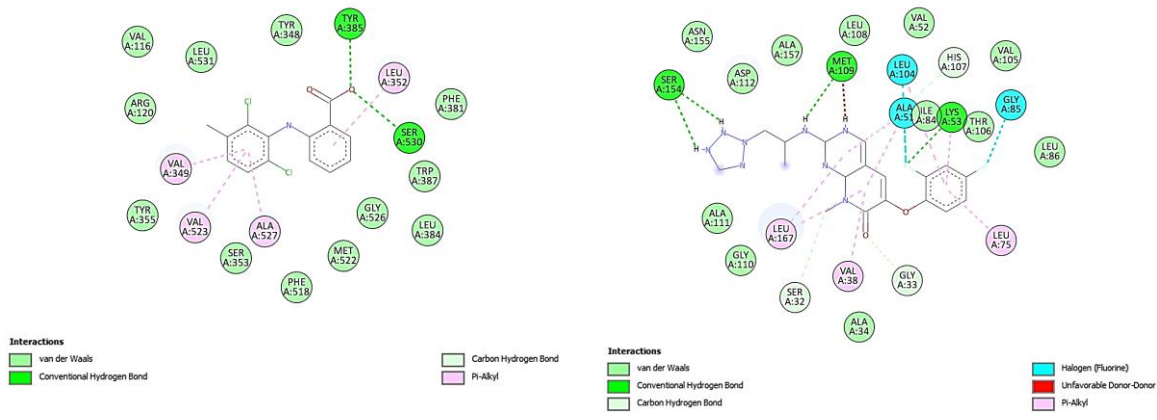
Gambar 2. Struktur ligan bawaan di database (abu-abu) dan setelah redocking (kuning) untuk protein COX-2 (kiri) dan protein p38 (kanan), divisualisasikan dengan Chimera 1.16

setelah proses redocking adalah 0,73 Å dan 1,58 Å sebagaimana ditunjukkan pada **Gambar 2**. Nilai RMSD tersebut memenuhi ambang batas validitas, yaitu kurang dari 2 Å (Marcou and Rognan, 2007; Endriyatno and Walid, 2022).

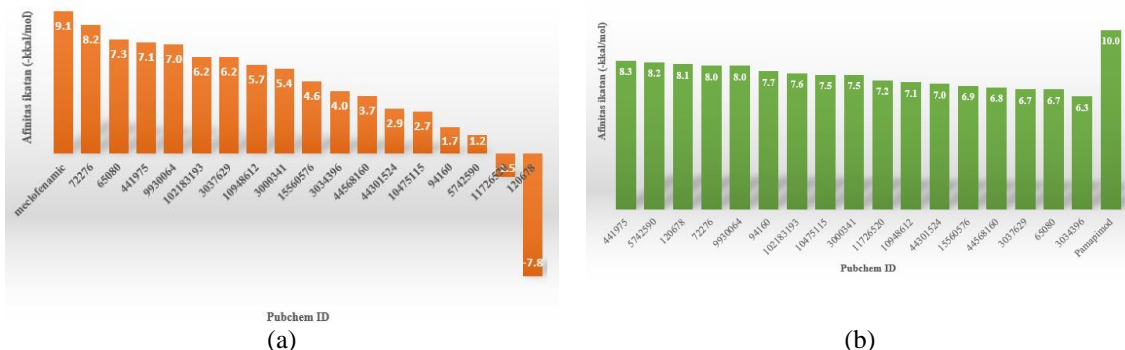
Dua protein target digunakan dalam penelitian ini karena menurut Ji *et al.* (2020), mekanisme penghambatan rasa nyeri setidaknya melibatkan dua protein, yaitu COX-2 dan p38. Sesuai dengan yang dilaporkan oleh Orlando and Malkowski (2016), ikatan hidrogen terjadi antara gugus karboksilat dari asam meklofenamat dengan oksigen fenol dari TYR385 dan oksigen

hidroksil dari SER530 pada protein COX-2. Sementara asam amino utama dari protein p38, sesuai di database adalah LYS53, MET109, dan ASP168 (Goldstein *et al.*, 2011).

Hasil redocking terhadap ligan bawaan menunjukkan asam amino utama pada COX-2 adalah TYR385 dan SER530, sementara pada p38 adalah LYS53, MET109, dan SER154 sebagaimana ditunjukkan pada **Gambar 3**. Hasil ini sejalan dengan yang dilaporkan oleh peneliti sebelumnya yang juga menunjukkan interaksi pada asam amino tersebut (das



Gambar 3. Visualisasi interaksi antara asam meklofenamat dengan COX-2 (a) antara pamapimod dengan p38, (b) sebagai ligan native dan kontrol positif

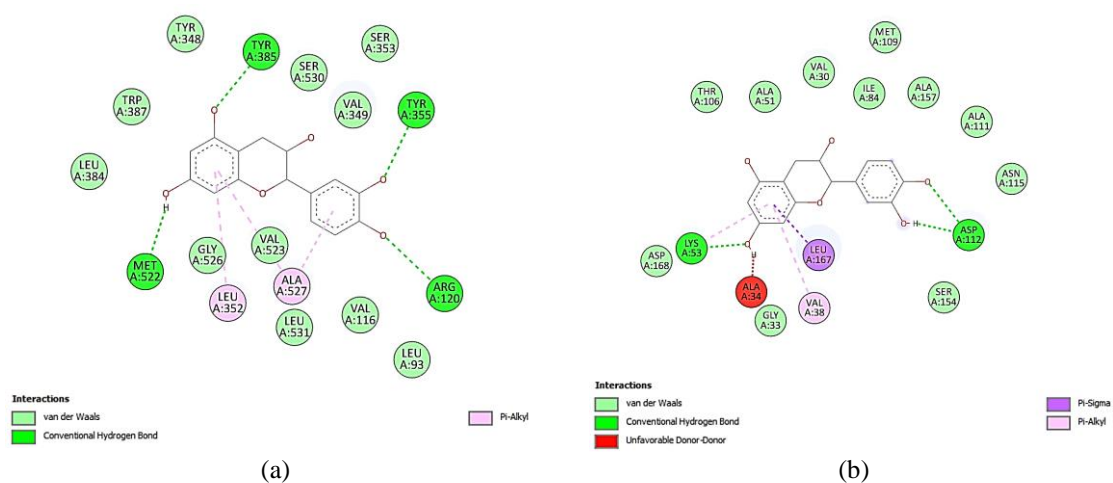


Gambar 4. Afinitas ikatan ligan hasil penapisan virtual terhadap (a) protein COX-2 dan (b) protein p38

Chagas Pereira de Andrade and Mendes, 2020; Tariq *et al.*, 2018; Asiedu *et al.*, 2021).

Penapisan virtual menunjukkan bahwa terdapat beberapa ligan di daun kratom yang mampu berinteraksi relatif kuat dengan kedua protein target. Namun, oleh karena selain aspek afinitas ikatan, terdapat aspek kesesuaian interaksi dengan residu asam amino utama yang harus diperhatikan (Motiejunas and Wade, 2007), maka dipilih ligan yang paling bersesuaian interaksinya dengan ligan bawaan. Nilai afinitas ikatan (dalam -kkal/mol) setiap ligan hasil penapisan virtual ditampilkan pada **Gambar 4**. Setelah

dikaji, pada protein COX-2, ligan (-)-epicatechin yang memiliki afinitas ikatan paling kuat juga menunjukkan interaksi yang mirip dengan meclofenamic acid yaitu ikatan hidrogen pada TYR385. Secara lengkap, (-)-epicatechin menunjukkan interaksi ikatan hidrogen dengan residu asam amino ARG120, TYR355, TYR385, dan MET522. Sementara pada protein p38, ligan ajmalicine (struktur pada **Gambar 1**) yang menunjukkan afinitas ikatan terkuat ternyata tidak menunjukkan interaksi yang mirip dengan ligan bawaan. Oleh karenanya, dipilih ligan yang memiliki afinitas ikatan di bawahnya namun



Gambar 5. Visualisasi interaksi antara (-)-epicatechin dengan COX-2 (a), dengan p38 (b) sebagai ligan terpilih hasil penapisan virtual

menunjukkan interaksi ikatan hidrogen paling mirip dengan ligan bawaan dan diperoleh ligan (-)-epicatechin. Ligan (-)-epicatechin menunjukkan ikatan hidrogen dengan residu asam amino LYS53 dan ASP112. Interaksi antara ligan kajian yang terpilih dengan kedua protein target ditunjukkan pada **Gambar 5** dan rekapitulasinya disajikan pada **Tabel 2**.

Sesuai hasil penapisan virtual, ligan yang disimpulkan paling bertanggung jawab dalam aktivitas analgesik dari daun kratom adalah (-)-epicatechin. Maka selanjutnya dilakukan

prediksi profil ADMET terhadap ligan tersebut sesuai yang disajikan pada **Tabel 3**. Hasil prediksi sifat ADME menunjukkan bahwa ligan ini memenuhi persyaratan, baik memiliki *GI absorption* yang tinggi, tidak *BBB permeant*, serta tidak menghambat sitokrom.

Suatu senyawa obat (terutama yang diadministrasikan lewat oral), akan diabsorpsi di saluran cerna, sehingga harus memiliki nilai absorpsi gastrointestinal (GI) yang baik (tinggi). Pada hasil prediksi, senyawa (-)-

Tabel 2. Rekapitulasi Interaksi antara Protein Target dengan Ligan

Protein	Ligan	Interaksi						Unfavourable donor-donor
		Van Der Waals	Conventional hydrogen bond	Carbon hydrogen bond	Pi-alkyl	Halogen (fluorine)	Pi-sigma	
COX-2	Meclofenamic acid	VAL116						
		ARG120						
		TYR348						
		SER353						
		TYR355						
		PHE381	TYR385			LEU352		
		LEU384	SER530	SER530		VAL349		
		TRP387				VAL523		
		PHE518				ALA527		
		MET522						
(-)-epicatechin	(-)-epicatechin	GLY526						
		LEU531						
		LEU93						
		VAL116						
		TYR346						
		VAL349	ARG120					
		SER353	TYR355					
		LEU384	TYR385			LEU352		
		TRP387				ALA527		
		VAL523				MET522		
p38	Pamapimod	GLY526						
		SER530						
		LEU531						
		ALA34						
		VAL52						
		ILE84						
		LEU86						
		VAL105	LYS53	SER32	VAL38	ALA51		
		THR106	MET109	GLY53	LEU75	GLY85		MET109
		LEU108	SER154	HIS107	LEU167	LEU104		
(-)-epicatechin	(-)-epicatechin	GLY110						
		ALA111						
		ASP112						
		ASN115						
		ALA157						
		VAL30						
		GLY33						
		ALA51						
		ILE84						
		THR106	LYS53		VAL38			
		MET109	ASP112				LEU167	ALA34
		ALA111						
		ASN115						
		SER154						
		ALA157						
		ASP168						

Tabel 3. Hasil Prediksi Sifat ADMET

Parameter	Hasil Prediksi	Rentang Hasil/Satuan
<i>GI absorption</i>	Tinggi	Rendah-Tinggi
<i>BBB permeant</i>	Tidak	Ya/Tidak
<i>CYP1A2 inhibitor</i>	Tidak	Ya/Tidak
<i>CYP2C19 inhibitor</i>	Tidak	Ya/Tidak
<i>CYP2C9 inhibitor</i>	Tidak	Ya/Tidak
<i>CYP2D6 inhibitor</i>	Tidak	Ya/Tidak
<i>CYP3A4 inhibitor</i>	Tidak	Ya/Tidak
<i>Lipinski #violations</i>	0	0-4
<i>Synthetic Accessibility</i>	3,1	1 (mudah) – 10 (sulit)
<i>Predicted LD₅₀</i>	10000	mg/kg
<i>Predicted toxicity class</i>	6	1 (sangat toksik) – 6 (tidak toksik)
<i>Hepatotoxicity</i>	Inaktif	Aktif/Inaktif
<i>Carcinogenicity</i>	Inaktif	Aktif/Inaktif
<i>Immunotoxicity</i>	Inaktif	Aktif/Inaktif
<i>Mutagenicity</i>	Inaktif	Aktif/Inaktif
<i>Cytotoxicity</i>	Inaktif	Aktif/Inaktif
<i>Tox21-nuclear receptor signaling pathways</i>	Inaktif	Aktif/Inaktif
<i>Mitochondrial membrane potential</i>	Aktif (0,55)	Aktif/Inaktif

epicatechin menunjukkan nilai *GI absorption* yang tinggi, menunjukkan bahwa senyawa ini akan dapat diserap dengan baik oleh saluran cerna (Elhenawy, AL-Harbi, *et al.*, 2019). Untuk prediksi sifat BBB permeant, senyawa (-)-epicatechin menunjukkan bahwa tidak menembus barrier menuju darah di sekitar otak. Hal ini menunjukkan bahwa senyawa tersebut hanya dapat digunakan sebagai analgesik lokal, bukan pada sistem syaraf pusat (Elhenawy, Al-Harbi, *et al.*, 2019; Wang *et al.*, 2018).

Ligan ini juga memenuhi Lipinski *rule of five* (Lipinski *et al.*, 1997) karena tidak melanggar satupun persyaratan sebagai obat oral. Aturan ini mensyaratkan suatu obat oral yang baik memiliki berat molekul kurang dari 500, nilai logP kurang dari 5, jumlah donor ikatan hidrogen kurang dari 5, dan jumlah akseptor ikatan hidrogen kurang dari 10. Nilai *synthetic accessibility* ligan ini juga relatif rendah, yaitu 3,5, yang menunjukkan ligan ini

tidak terlalu sulit untuk disintesis (Ertl and Schuffenhauer, 2009).

Pada aspek toksitas, hasil prediksi menunjukkan bahwa ligan (-)-epicatechin bersifat aman karena memiliki nilai LD₅₀ sebesar 10.000 mg/kg dan berada di kelas toksitas 6. Hasil prediksi ini memiliki akurasi 100 % karena ligan ini tercantum di database yang ada. Kajian hepatotoksitas, karsinogenitas, imunotoksitas, mutagenitas, serta sitotoksitas juga menunjukkan bahwa ligan ini diprediksi tidak aktif. Selain itu, ligan ini juga tidak aktif pada sebagian besar jalur penyaluran sinyal reseptor inti serta jalur respon stress. Namun ada satu bagian yang diprediksi aktif dengan probabilitas 0,55, yaitu pada mitochondrial membrane potential (MMP), yang sebagaimana dinyatakan oleh Sakamuru, Attene-Ramos and Xia (2016), mungkin menyebabkan disfungsi mitokondria. Namun karena nilai probabilitas yang relatif rendah, maka secara umum ligan ini dinyatakan aman atau tidak toksik.

KESIMPULAN

Hasil kajian penapisan virtual menunjukkan senyawa yang diprediksi paling bertanggung jawab terhadap aktivitas analgesik dari daun kratom adalah (-)-epicatechin. Ligan ini memiliki interaksi yang mirip dengan ligan bawaan terhadap protein COX-2 dan p38. Prediksi sifat ADMET

menunjukkan bahwa ligan ini diprediksi memiliki bioavailabilitas yang baik, dapat digunakan secara oral, serta tidak toksik.

UCAPAN TERIMA KASIH

Penulis berterima kasih kepada Akademi Farmasi Yarsi Pontianak yang membiayai penelitian ini dalam skema Hibah Internal Tahun 2022.

Daftar Pustaka

- Asiedu S.O., Kwofie S.K., Broni E. and Wilson M.D., 2021, Computational identification of potential anti-inflammatory natural compounds targeting the p38 mitogen-activated protein kinase (Mapk): Implications for covid-19-induced cytokine storm, *Biomolecules*, 11 (5)
- Banerjee P., Eckert A.O., Schrey A.K. and Preissner R., 2018, ProTox-II: a webserver for the prediction of toxicity of chemicals, *Nucleic Acids Research*, 46 (W1), W257–W263.
- BIOVIA, 2021, Dassault Systèmes, Discovery Studio Visualizer, v21.1.0.20298, San Diego: Dassault Systèmes, 2021,
- das Chagas Pereira de Andrade F. and Mendes A.N., 2020, Computational analysis of eugenol inhibitory activity in lipoxygenase and cyclooxygenase pathways, *Scientific Reports*, 10 (1), 1–14.
- Daina A., Michielin O. and Zoete V., 2017, SwissADME: a free web tool to evaluate pharmacokinetics, drug-likeness and medicinal chemistry friendliness of small molecules, *Scientific Reports*, 7 (1), 42717.
- Dallakyan S. and Olson A.J., 2015, Small-molecule library screening by docking with PyRx, *Methods in Molecular Biology*, 1263, 243–250.
- Elhenawy A.A., AL-Harbi L.M., El-Gazzar M.A., Khowdiary M.M., ouidate A., Alosaimi A.M. and elhamid Salim A., 2019, Naproxenylamino acid derivatives: Design, synthesis, docking, QSAR and anti-inflammatory and analgesic activity, *Biomedicine and Pharmacotherapy*, 116 (March), 109024.
- Elhenawy A.A., Al-Harbi L., Moustafa G., El-Gazzar M.A., Abdel-Rahman R.F. and Salim A.E., 2019, Synthesis, comparative docking, and pharmacological activity of naproxen amino acid derivatives as possible anti-inflammatory and analgesic agents, *Drug Design, Development and Therapy*, Volume 13, 1773–1790.
- Endriyatno N.C. and Walid M., 2022, Studi In Silico Kandungan Senyawa Daun Sriyaya (*Annona squamosa L.*) Terhadap Protein Dihydrofolate Reductase Pada Mycobacterium tuberculosis, *Pharmacon: Jurnal Farmasi Indonesia*, 19 (1), 87–98.
- Ertl P. and Schuffenhauer A., 2009, Estimation of synthetic accessibility score of drug-like molecules based on molecular complexity and fragment contributions, *Journal of Cheminformatics*, 1 (1), 1–11.

Firmansyah A., Sundalian M. and Taufiq M., 2020, Kratom (*Mitragyna speciosa* Korth) for a New Medicinal: a Review of Pharmacological and Compound Analysis, *Biointerface Research in Applied Chemistry*, 11 (2), 9704–9718.

Goldstein D.M., Soth M., Gabriel T., Dewdney N., Kuglstatter A., Arzeno H., Chen J., Bingenheimer W., Dalrymple S.A., Dunn J., Farrell R., Frauchiger S., La Fargue J., Ghate M., Graves B., Hill R.J., et al., 2011, Discovery of 6-(2,4-Difluorophenoxy)-2-[3-hydroxy-1-(2-hydroxyethyl)propylamino]-8-methyl-8 H -pyrido[2,3- d]pyrimidin-7-one (Pamapimod) and 6-(2,4-Difluorophenoxy)-8-methyl-2-(tetrahydro-2 H -pyran-4-ylamino)pyrido[2,3- d]pyrimidin-7(8 H)-one (R1487) , *Journal of Medicinal Chemistry*, 54 (7), 2255–2265.

Hadi S., Khairunnisa A., Khalifah S.N., Oktaviani S., Sari S.O. and Hapifah U.N., 2021, Skrining Inhibitor NF-κB Combretum indicum dengan Metode Docking, *Pharmacon: Jurnal Farmasi Indonesia*, 18 (2), 157–163.

Ji J., Zhang R., Li H., Zhu J., Pan Y. and Guo Q., 2020, Analgesic and anti-inflammatory effects and mechanism of action of borneol on photodynamic therapy of acne, *Environmental Toxicology and Pharmacology*, 75 (January)

Kontoyianni M., 2017, Docking and virtual screening in drug discovery, *Methods in Molecular Biology*, 1647, 255–266.

Kurniawan A., Siswandono S., Mumpuni E. and Abdillah S., 2022, In Silico Molecular Docking and Toxicity Studies of Bioactive Fucoidan Compound from Brown Seaweed as Potential of Antihypertensive, *Pharmacon: Jurnal Farmasi Indonesia*, 19 (1), 1–9.

León F., Habib E., Adkins J.E., Furr E.B., McCurdy C.R. and Cutler S.J., 2009, Phytochemical characterization of the leaves of *Mitragyna speciosa* grown in USA, *Natural Product Communications*, 4 (7), 907–910.

Lipinski C.A., Lombardo F., Dominy B.W. and Feeney P.J., 2012, Experimental and computational approaches to estimate solubility and permeability in drug discovery and development settings, *Advanced Drug Delivery Reviews*, 64 (SUPPL.), 4–17.

Lipinski C.A., Lombardo F., Dominy B.W. and Feeney P.J., 1997, Experimental and computational approaches to estimate solubility and permeability in drug discovery and development settings, *Advanced Drug Delivery Reviews*, 23 (1–3), 3–25.

Marcou G. and Rognan D., 2007, Optimizing Fragment and Scaffold Docking by Use of Molecular Interaction Fingerprints, *Journal of Chemical Information and Modeling*, 47 (1), 195–207.

Motiejunas D. and Wade R.C., 2007, Structural, Energetic, and Dynamic Aspects of Ligand–Receptor Interactions, Dalam Taylor, J. B. & Triggle, D. J., eds. *Comprehensive Medicinal Chemistry II*, Elsevier, pp. 193–213.

Orlando B.J. and Malkowski M.G., 2016, Substrate-selective inhibition of cyclooxygenase-2 by fenamic acid derivatives is dependent on peroxide tone, *Journal of Biological Chemistry*, 291 (29), 15069–15081.

Pettersen E.F., Goddard T.D., Huang C.C., Couch G.S., Greenblatt D.M., Meng E.C. and Ferrin T.E., 2004, UCSF Chimera: A visualization system for exploratory research and analysis, *Journal of Computational Chemistry*, 25 (13), 1605–1612.

- Sakamuru S., Attene-Ramos M.S. and Xia M., 2016, *Membrane Mitochondrial Potential Assay*, Zhu, H. & Xia, M., eds., Springer New York, New York, NY.
- Santoso B., 2015, D-Molecular Screening of Diketopiperazine Derivates on *Staphylococcus aureus* Dehydrosqualene Synthase using Vina, *Pharmacon: Jurnal Farmasi Indonesia*, 13 (1), 24–29.
- Tariq S., Alam O. and Amir M., 2018, Synthesis, p38 α MAP kinase inhibition, anti-inflammatory activity, and molecular docking studies of 1,2,4-triazole-based benzothiazole-2-amines, *Archiv der Pharmazie - Chemistry in Life Science*, 351 (3–4), e1700304.
- Trott O. and Olson A.J., 2009, AutoDock Vina: Improving the speed and accuracy of docking with a new scoring function, efficient optimization, and multithreading, *Journal of Computational Chemistry*, 31 (2), 455–461.
- Wang Z., Yang H., Wu Z., Wang T., Li W., Tang Y. and Liu G., 2018, In Silico Prediction of Blood–Brain Barrier Permeability of Compounds by Machine Learning and Resampling Methods, *ChemMedChem*, 13 (20), 2189–2201.
- Xiang M., Cao Y., Fan W., Chen L. and Mo Y., 2012, Computer-Aided Drug Design: Lead Discovery and Optimization, *Combinatorial Chemistry & High Throughput Screening*, 15 (4), 328–337.